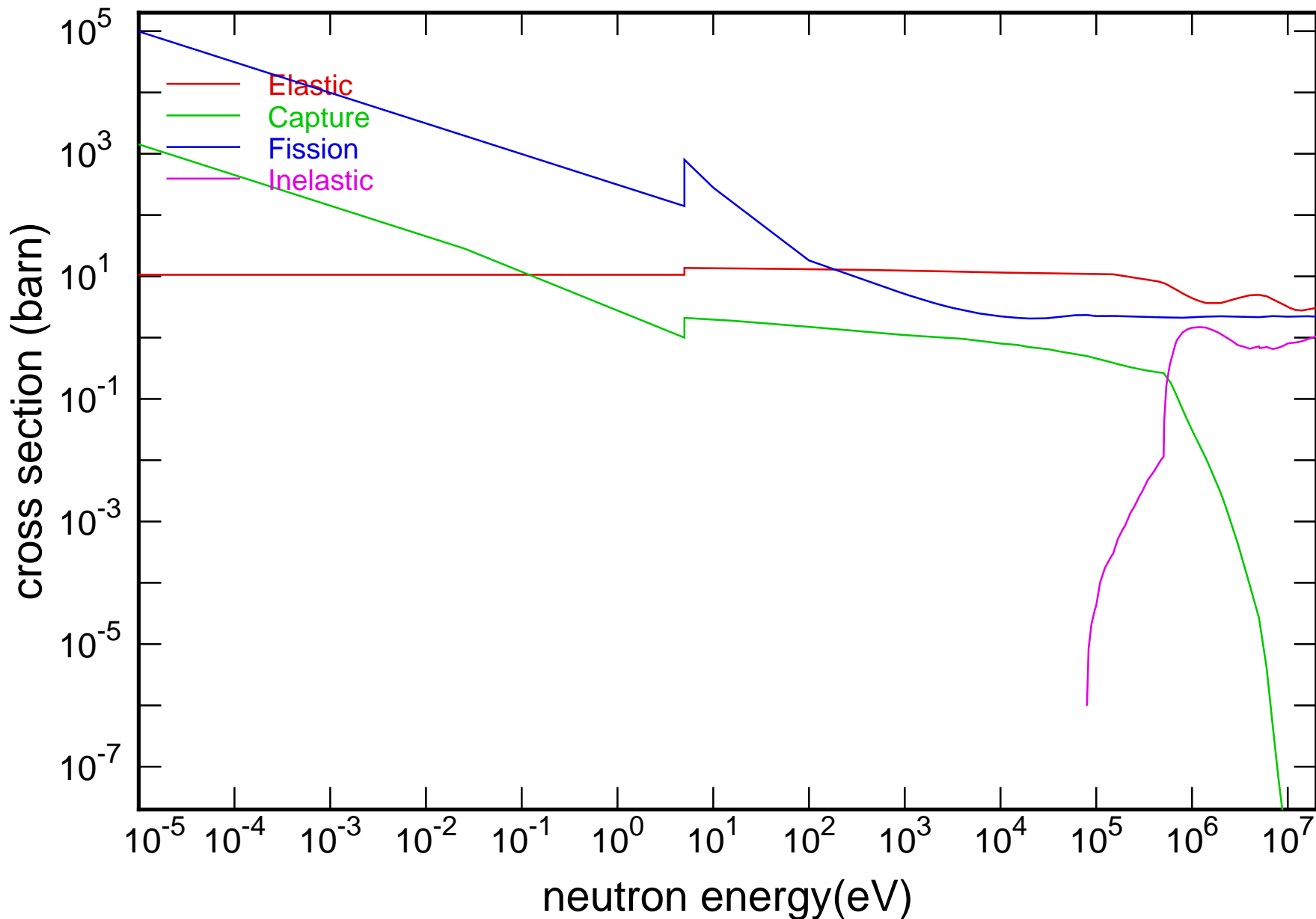
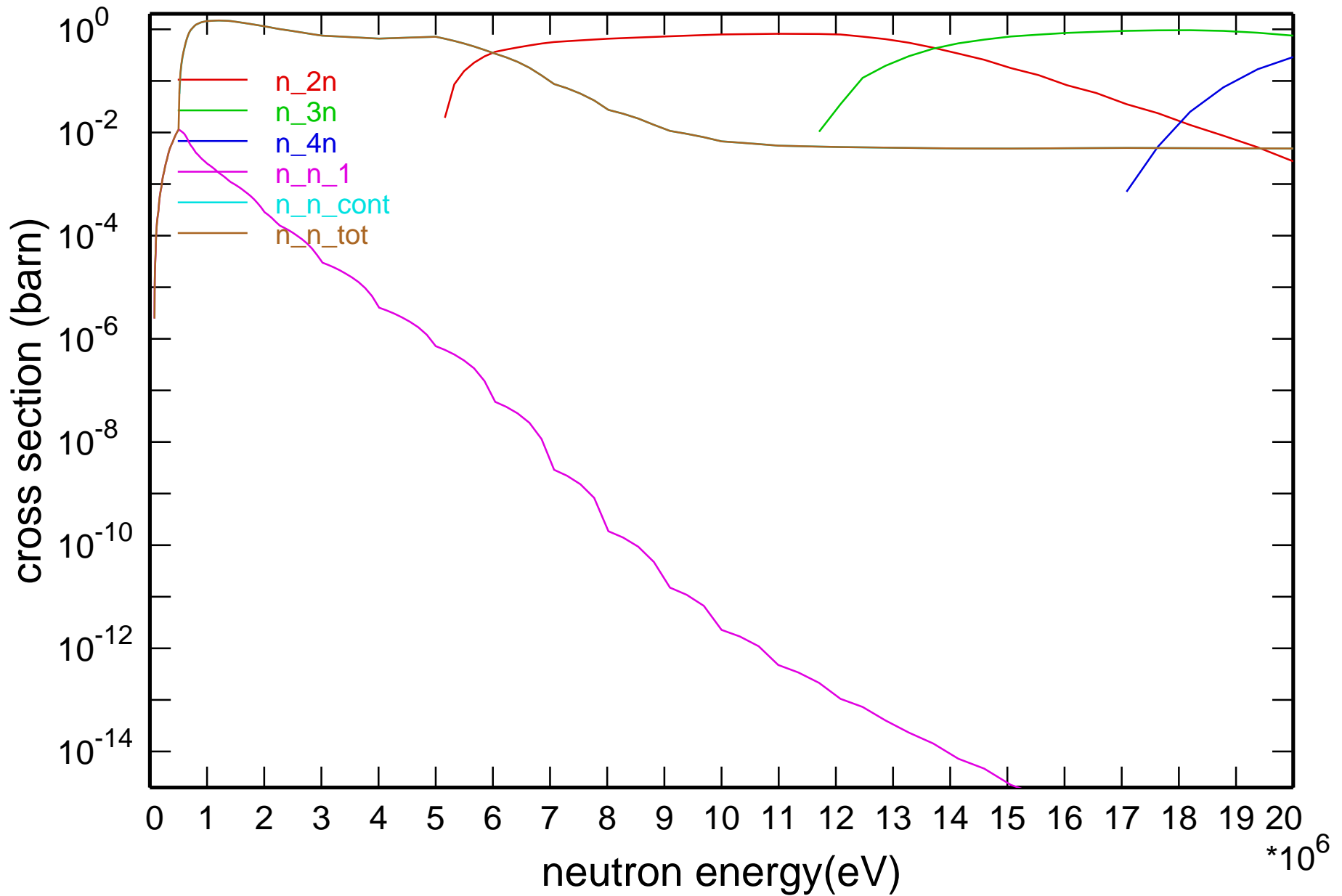


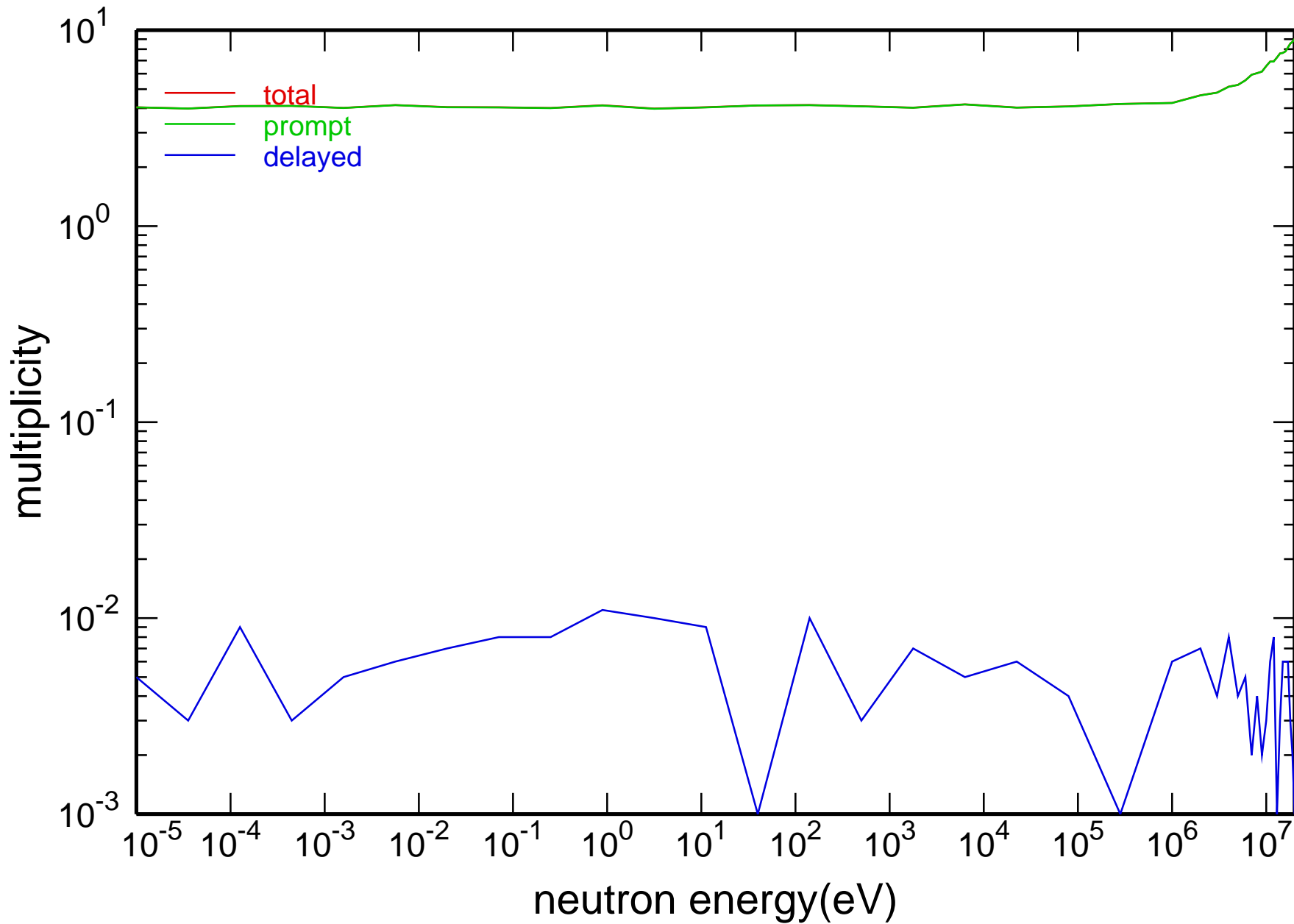
Main Cross Sections

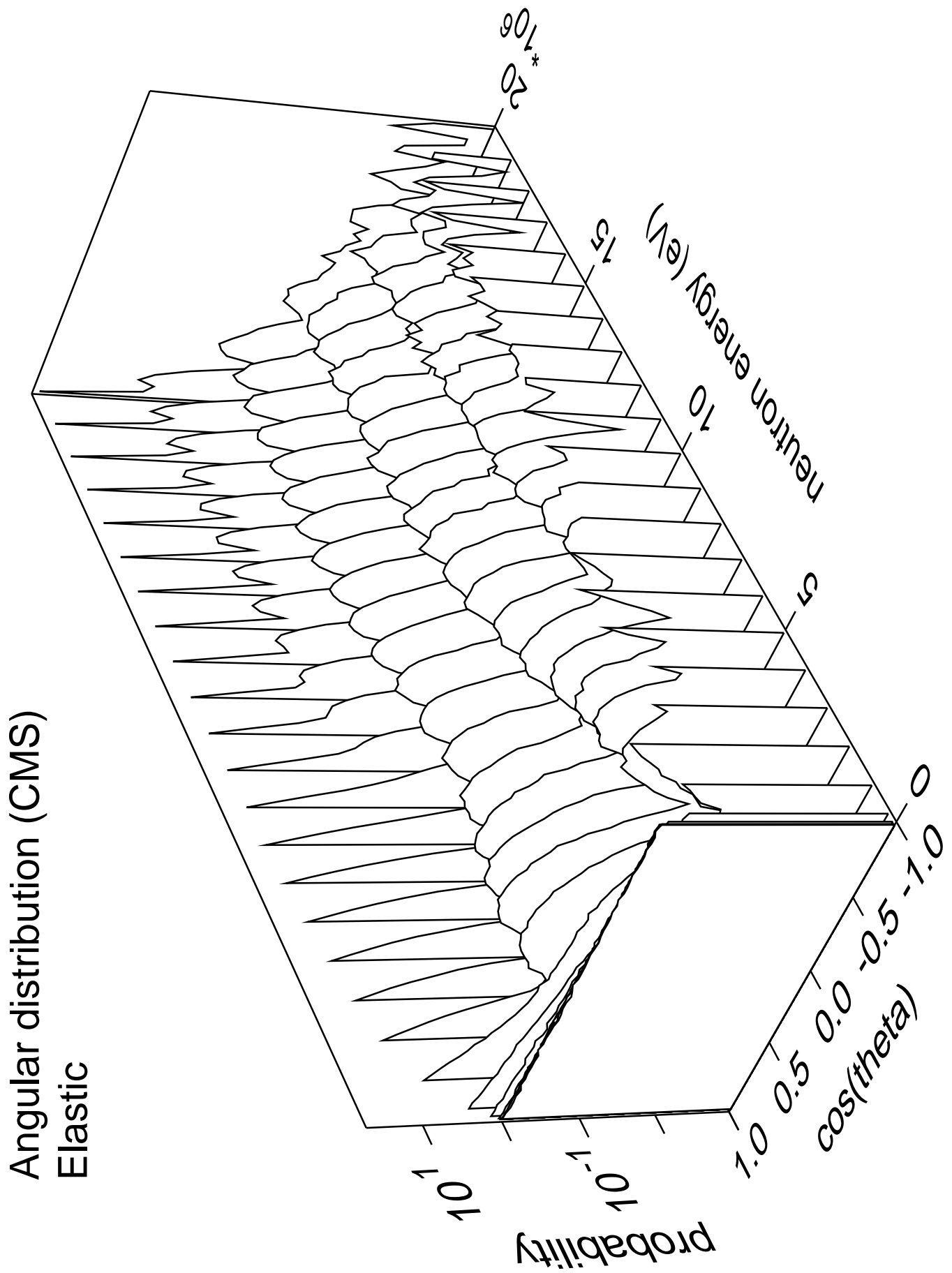


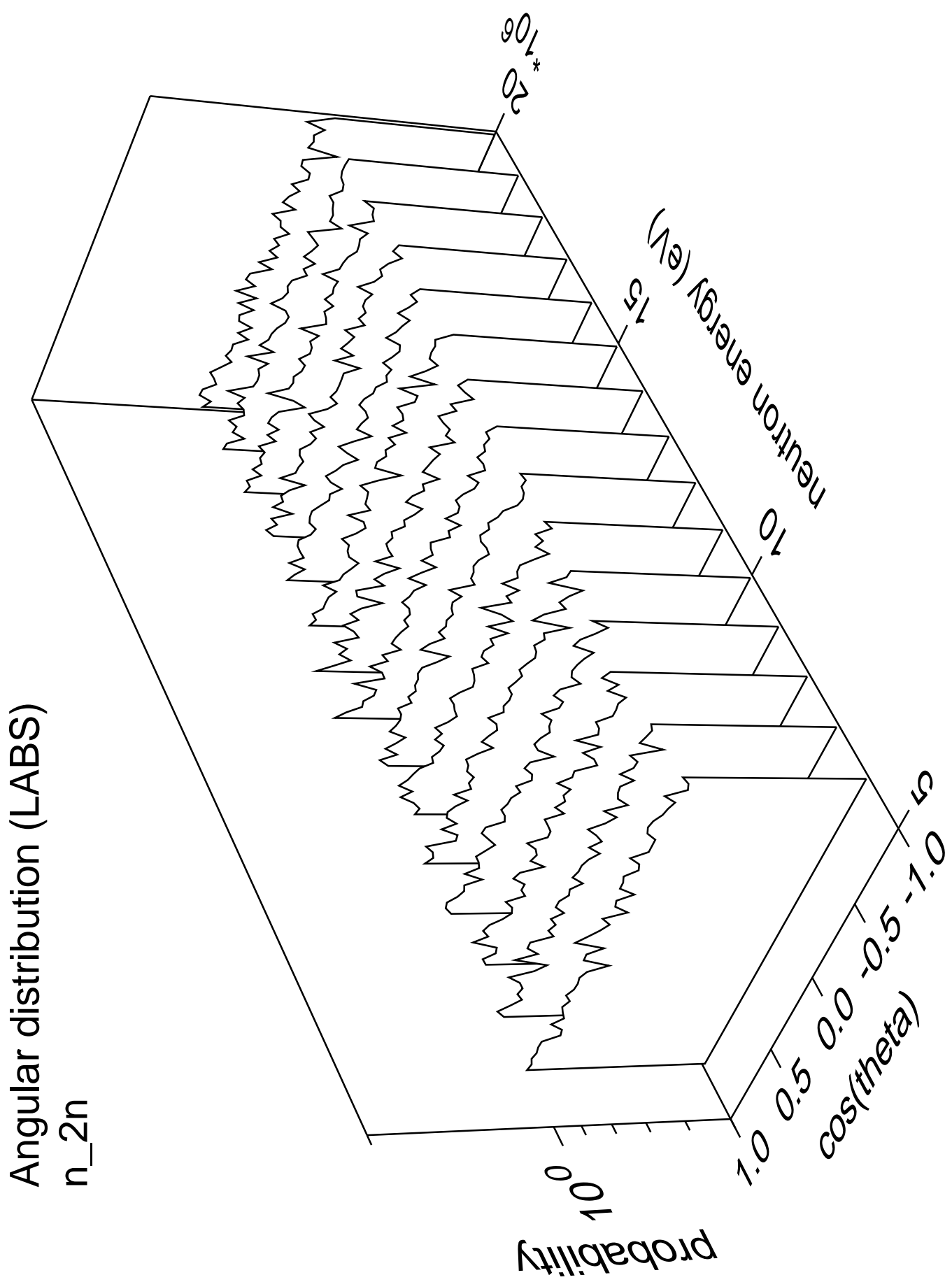
Cross Section



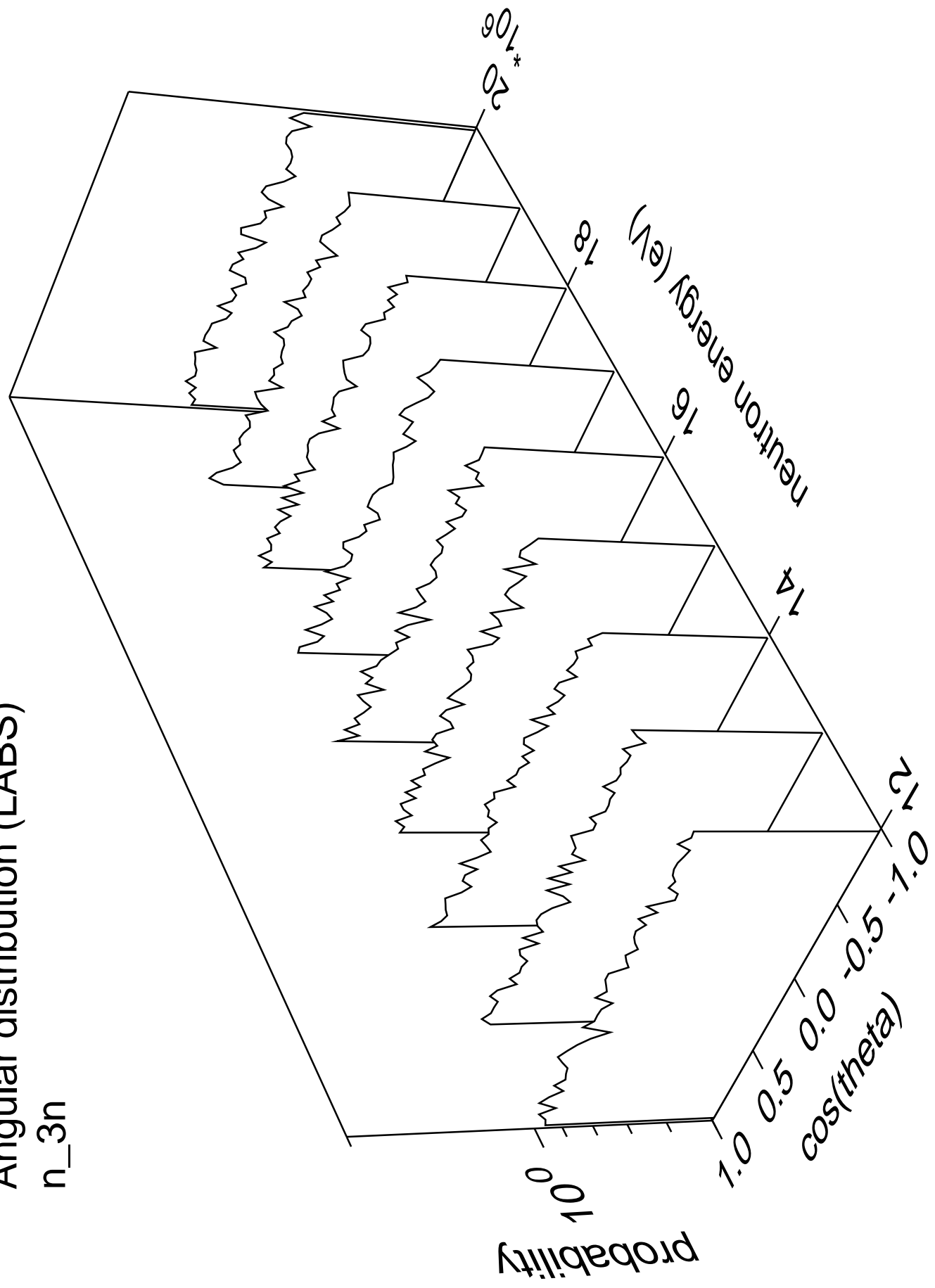
neutron multiplicity for fission







Angular distribution (LABS)
 n_{3n}



Angular distribution (LABS)
 n_{4n}

Probability

10^0

10^{-2}

10^{-4}

10^{-6}

10^{-8}

10^{-10}

10^{-12}

10^{-14}

10^{-16}

10^{-18}

10^{-20}

10^{-22}

10^{-24}

10^{-26}

10^{-28}

10^{-30}

10^{-32}

10^{-34}

10^{-36}

10^{-38}

10^{-40}

10^{-42}

10^{-44}

10^{-46}

10^{-48}

10^{-50}

10^{-52}

10^{-54}

10^{-56}

10^{-58}

10^{-60}

10^{-62}

10^{-64}

10^{-66}

10^{-68}

10^{-70}

10^{-72}

10^{-74}

10^{-76}

10^{-78}

10^{-80}

10^{-82}

10^{-84}

10^{-86}

10^{-88}

10^{-90}

10^{-92}

10^{-94}

10^{-96}

10^{-98}

10^{-100}

10^{-102}

10^{-104}

10^{-106}

10^{-108}

10^{-110}

10^{-112}

10^{-114}

10^{-116}

10^{-118}

10^{-120}

10^{-122}

10^{-124}

10^{-126}

10^{-128}

10^{-130}

10^{-132}

10^{-134}

10^{-136}

10^{-138}

10^{-140}

10^{-142}

10^{-144}

10^{-146}

10^{-148}

10^{-150}

10^{-152}

10^{-154}

10^{-156}

10^{-158}

10^{-160}

10^{-162}

10^{-164}

10^{-166}

10^{-168}

10^{-170}

10^{-172}

10^{-174}

10^{-176}

10^{-178}

10^{-180}

10^{-182}

10^{-184}

10^{-186}

10^{-188}

10^{-190}

10^{-192}

10^{-194}

10^{-196}

10^{-198}

10^{-200}

10^{-202}

10^{-204}

10^{-206}

10^{-208}

10^{-210}

10^{-212}

10^{-214}

10^{-216}

10^{-218}

10^{-220}

10^{-222}

10^{-224}

10^{-226}

10^{-228}

10^{-230}

10^{-232}

10^{-234}

10^{-236}

10^{-238}

10^{-240}

10^{-242}

10^{-244}

10^{-246}

10^{-248}

10^{-250}

10^{-252}

10^{-254}

10^{-256}

10^{-258}

10^{-260}

10^{-262}

10^{-264}

10^{-266}

10^{-268}

10^{-270}

10^{-272}

10^{-274}

10^{-276}

10^{-278}

10^{-280}

10^{-282}

10^{-284}

10^{-286}

10^{-288}

10^{-290}

10^{-292}

10^{-294}

10^{-296}

10^{-298}

10^{-300}

10^{-302}

10^{-304}

10^{-306}

10^{-308}

10^{-310}

10^{-312}

10^{-314}

10^{-316}

10^{-318}

10^{-320}

10^{-322}

10^{-324}

10^{-326}

10^{-328}

10^{-330}

10^{-332}

10^{-334}

10^{-336}

10^{-338}

10^{-340}

10^{-342}

10^{-344}

10^{-346}

10^{-348}

10^{-350}

10^{-352}

10^{-354}

10^{-356}

10^{-358}

10^{-360}

10^{-362}

10^{-364}

10^{-366}

10^{-368}

10^{-370}

10^{-372}

10^{-374}

10^{-376}

10^{-378}

10^{-380}

10^{-382}

10^{-384}

10^{-386}

10^{-388}

10^{-390}

10^{-392}

10^{-394}

10^{-396}

10^{-398}

10^{-400}

10^{-402}

10^{-404}

10^{-406}

10^{-408}

10^{-410}

10^{-412}

10^{-414}

10^{-416}

10^{-418}

10^{-420}

10^{-422}

10^{-424}

10^{-426}

10^{-428}

10^{-430}

10^{-432}

10^{-434}

10^{-436}

10^{-438}

10^{-440}

10^{-442}

10^{-444}

10^{-446}

10^{-448}

10^{-450}

10^{-452}

10^{-454}

10^{-456}

10^{-458}

10^{-460}

10^{-462}

10^{-464}

10^{-466}

10^{-468}

10^{-470}

10^{-472}

10^{-474}

10^{-476}

10^{-478}

10^{-480}

10^{-482}

10^{-484}

10^{-486}

10^{-488}

10^{-490}

10^{-492}

10^{-494}

10^{-496}

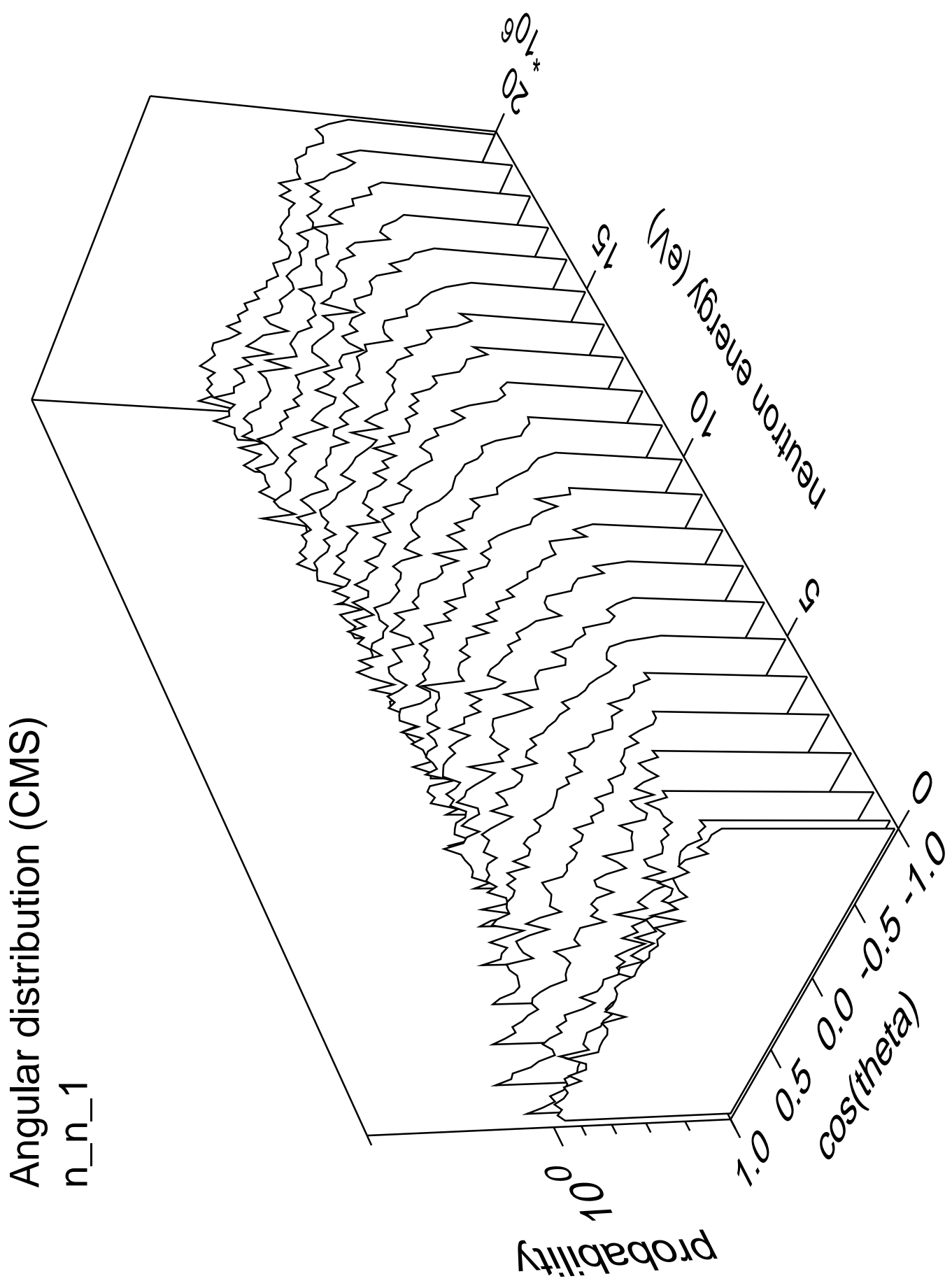
10^{-498}

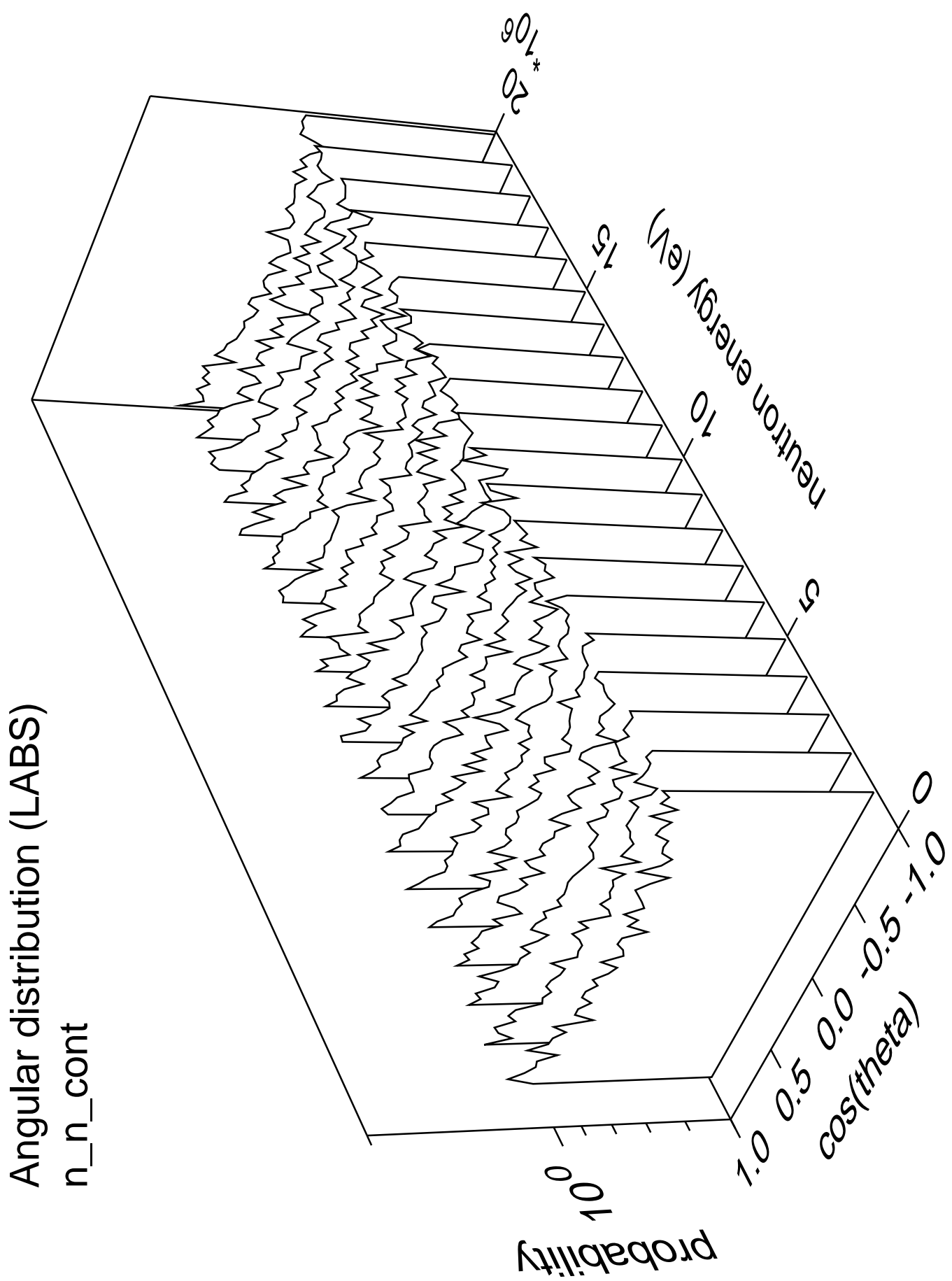
10^{-500}

10^{-502}

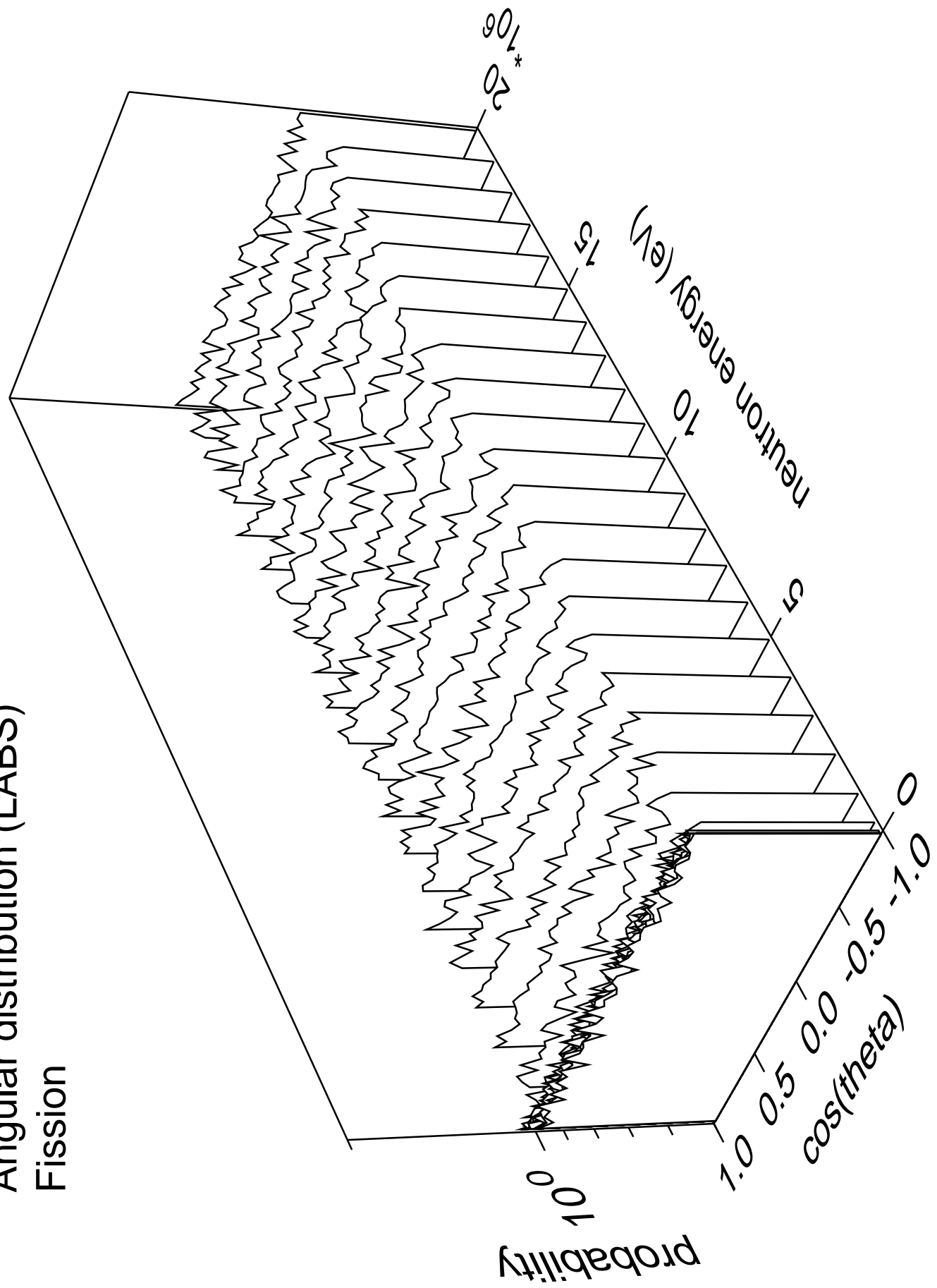
10^{-504}

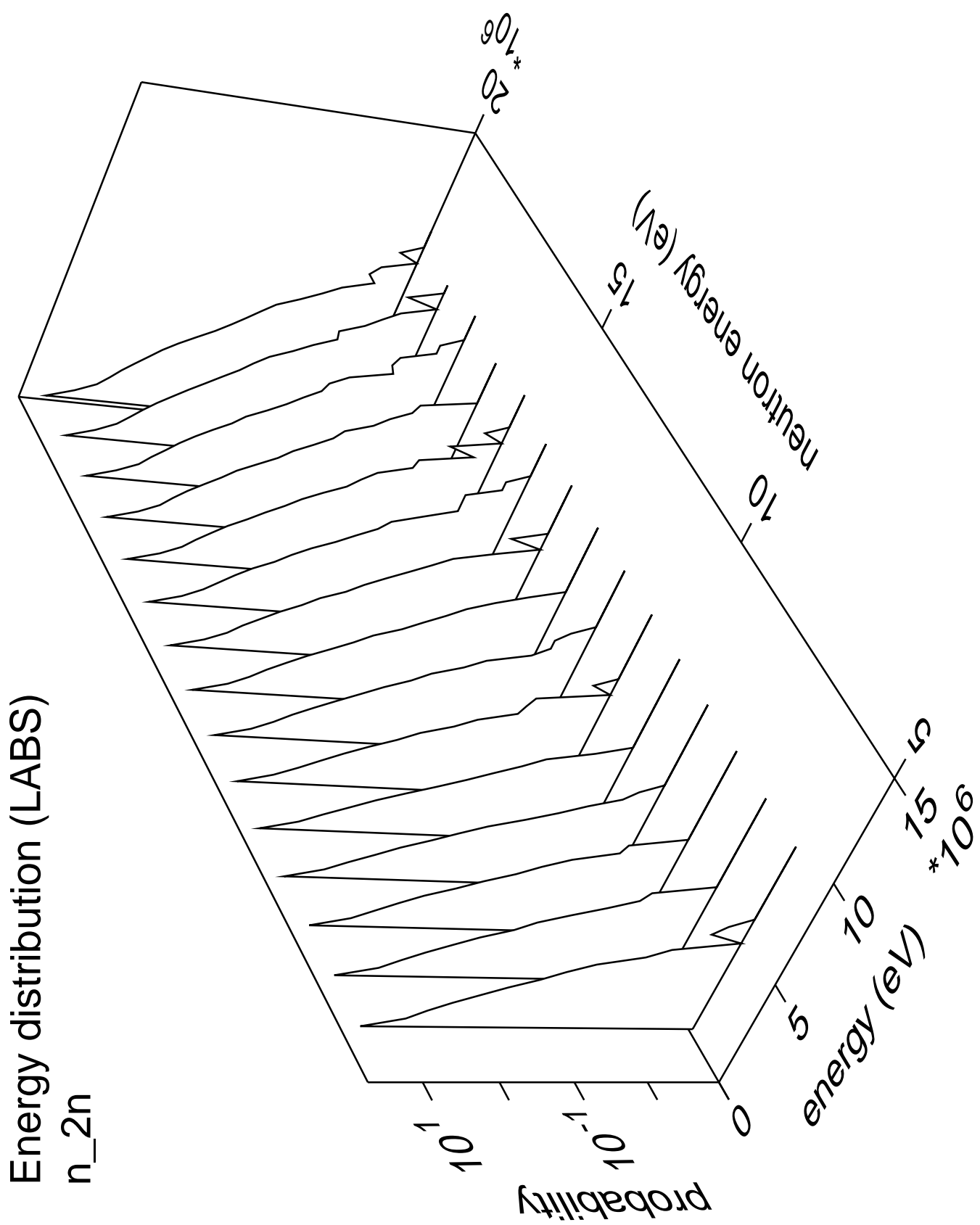
<p

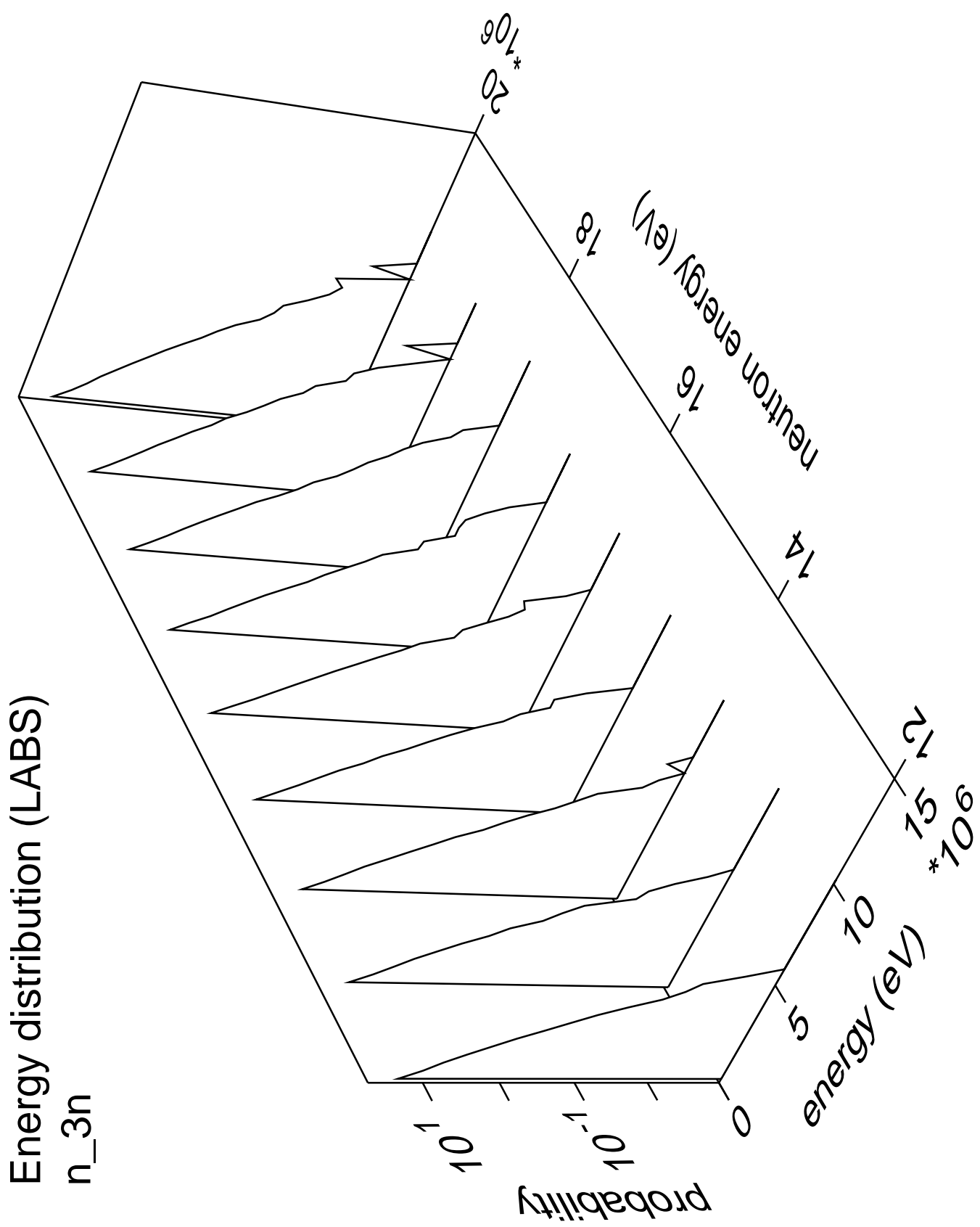


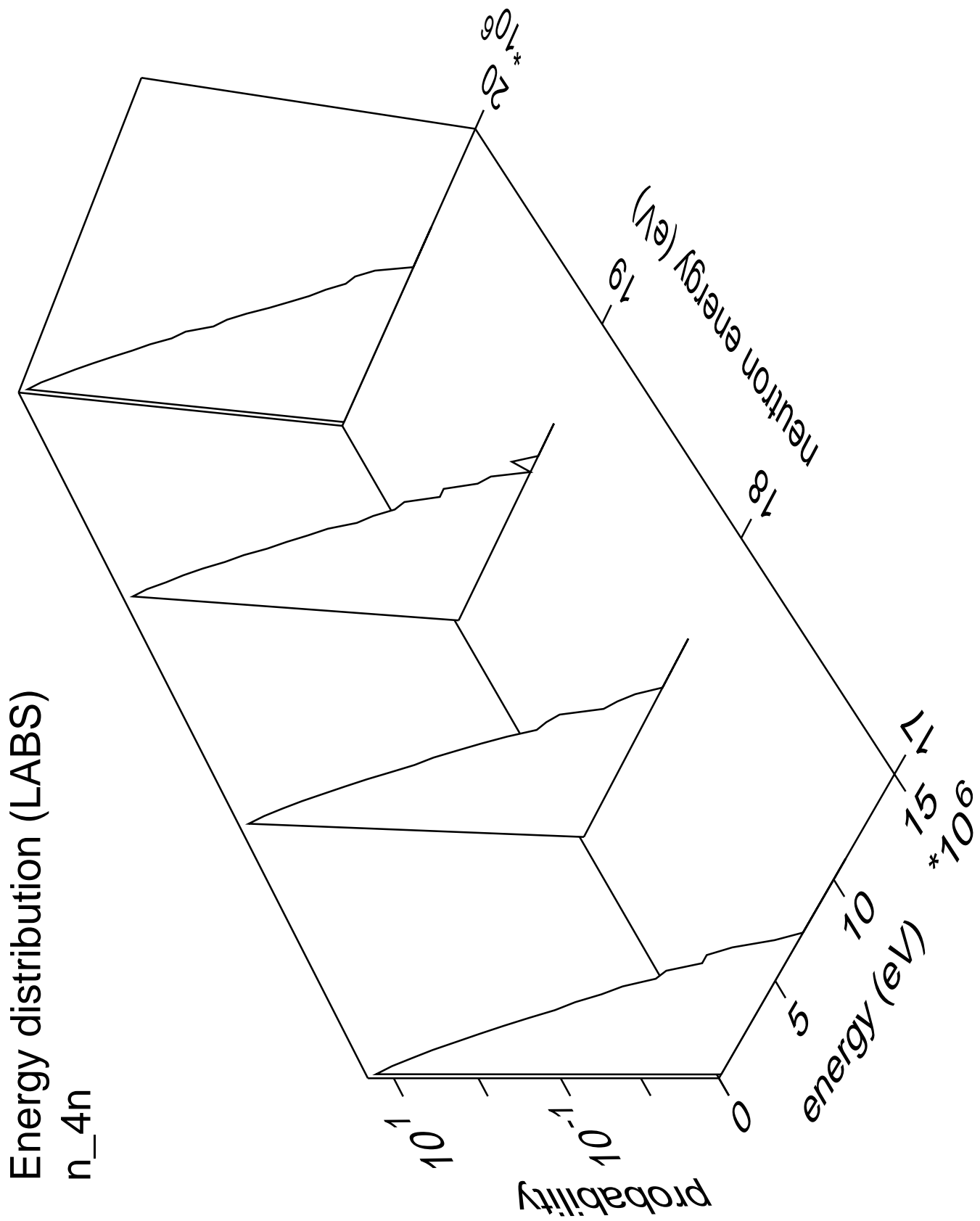


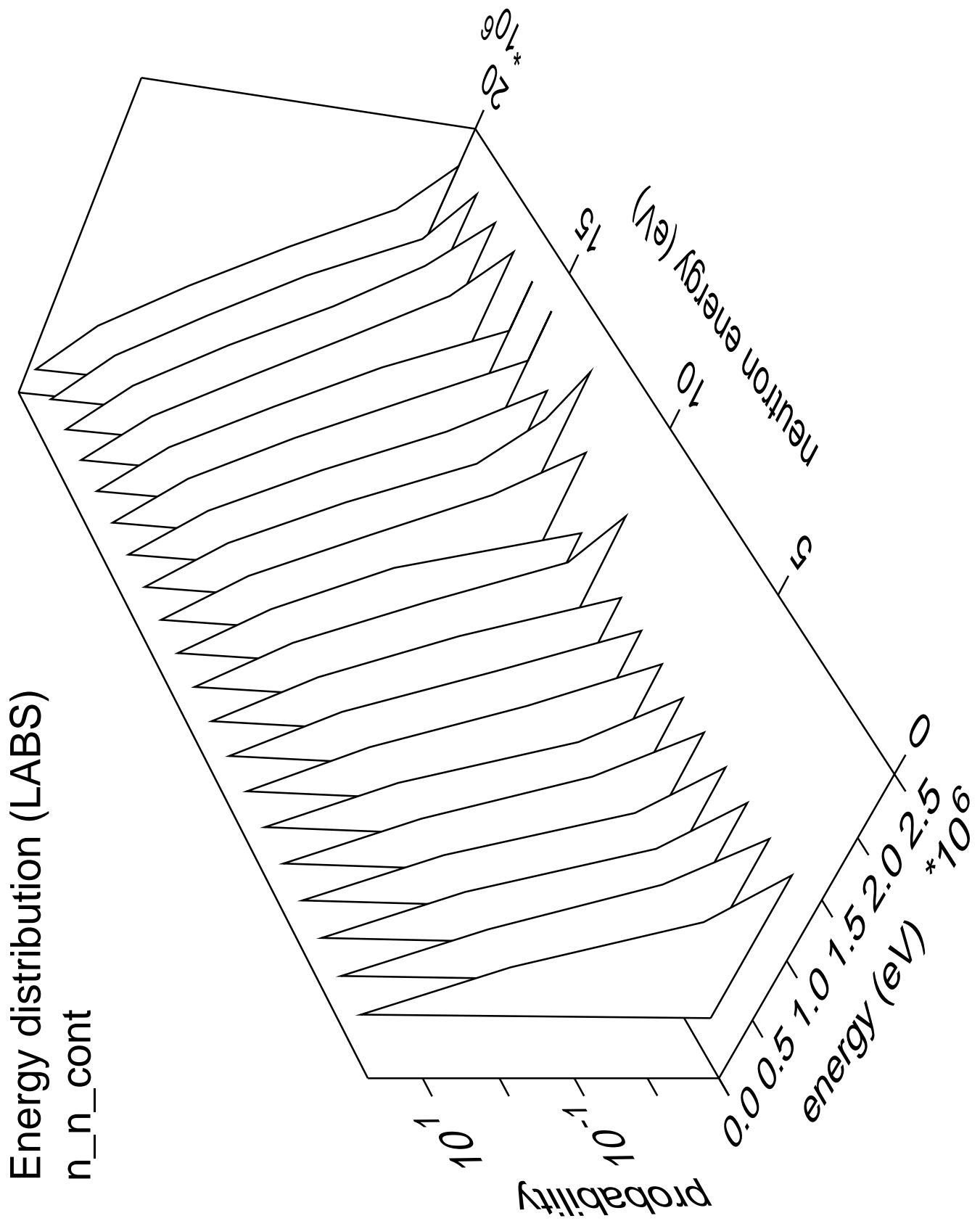
Angular distribution (LABS) Fission











Energy distribution (CMS)
Fission prompt

